

بررسی احتمالاتی جابه‌جایی شمع تحت اثر بار دینامیکی با استفاده از روش وینکلر

علی جوهری* (دانشیار)

رقیه شیروانی (کارشناس ارشد)

دانشکده هندسی عمران و محیط زیست، دانشگاه صنعتی شیراز

در طی زلزله‌های پیشین، تعداد زیادی از شمع‌های استفاده شده دچار آسیب شده‌اند که متأسفانه در نمونه‌های کمی از آن‌ها، اطلاعاتی قابل استفاده به ثبت رسیده است. هدف از پژوهش حاضر، مدل سازی شمع و خاک براساس روش وینکلر و آنالیز احتمالاتی آن تحت بار دینامیکی زلزله با اعمال عدم قطعیت در پارامترهای ورودی خاک و بتن است. برای این منظور با برنامه نویسی در محیط متلب، آنالیز دینامیکی در حوزه‌ی زمان با استفاده از روش نیومارک و شبیه‌سازی مونت‌کارلو به عنوان ابزاری جهت آنالیز احتمالاتی با یکدیگر ادغام شدند تا توزیع احتمالاتی جابه‌جایی، سرعت و شتاب هر نقطه از شمع تعیین شود. جهت صحبت سنجی، تنبیه‌سازی جابه‌جایی شمع و طیف پاسخ شتاب ساختگاه در حالت قطعی مقایسه شده است. از جمله مهم‌ترین دستاوردهای پژوهش حاضر می‌توان به تعیین تابع توزیع احتمال بیشینه‌ی جابه‌جایی شمع و بررسی احتمالاتی تأثیر طول شمع در جابه‌جایی آن در یک آنالیز دینامیکی اشاره کرد.

واژگان کلیدی: بار دینامیکی، روش وینکلر، عدم قطعیت، جابه‌جایی شمع، روش شبیه‌سازی مونت‌کارلو.

johari@sutech.ac.ir
r.shiravani@sutech.ac.ir

۱. مقدمه

مدل پیوسته‌ی تقریبی برای توضیح اندرکنش شمع - خاک ارائه کرد که در آن خاک توسط مجموعه‌ی از لایه‌های مستقل افقی با ضخامت بسیار کوچک که تا بی‌نهایت گسترش یافته بودند، مدل سازی شده است.^[۱] نوak (۱۹۷۴) با درنظر گرفتن یک کلاه شمع صلب برای یک گروه شمع و سرشع منفرد، پیشنهاد کرد که میرایی و سختی معادل ثابت در نظر گرفته شوند. مدل عددی پیشنهادی نوak برای مقایسه‌ی واکنش پی‌گستردگی با فونداسیون شمع استفاده شده است.^[۲] علاوه بر این، روش نوak به روش تاجیمی (۱۹۶۶) که بر پایه‌ی روش تجزیه و تحلیل‌های دقیق سه بعدی استوار بوده است، با افزایش بسامد نزدیک می‌شود.^[۳] نوگامی و نوak (۱۹۸۰)، اقدام به مقایسه‌ی روش پیوسته با مدل وینکلر کردن و برای این منظور، ضریب پاسخ دینامیکی خاک به حرکت شمع و رفتار خاک به عنوان یک محیط پیوسته سه بعدی با این فرض که هیچ رابطه‌ی بین اتصال شمع - خاک و حرکت آن‌ها وجود ندارد، را مطالعه کردند.^[۴]

در روش وینکلر، خاک توسط فنرهای سری مدل می‌شود. با توجه به استفاده از روش پیوسته در پژوهش حاضر، شرح بیشتر روش پیوسته به بخش بعد و آنکه شده است. برگر و همکارانش (۱۹۷۷) و همچنین وانگ و همکارانش (۱۹۹۸)، در استفاده از روش پیوسته، فرض وارد شدن امواج P به فرم یک بعدی و در راستای زلزله و امواج S عمود بر شمع وارد را مدنظر قرار دادند.^[۵] نوak و همکارانش

زلزله یکی از مهم‌ترین منابع تولید بارهای دینامیکی است که می‌تواند باعث نشست پی‌ها، کج شدن ساختمان‌ها، روان شدن لایه‌های مستعد خاک و بالاخره شناور شدن ساختمان‌های سبک شود. یکی از راه‌های مؤثر به منظور مقابله با آثار زلزله در ساختمان‌ها و مشکلات عنوان شده، استفاده از پی‌های عمیق است. به لحاظ کارآیی پی‌های عمیق، پژوهش‌های متعددی توسط برخی پژوهشگران در این زمینه صورت پذیرفته است که مجموعه‌ی آن‌ها به ۳ روش: پیوسته، وینکلر و المان محدود قابل تقسیم‌بندی هستند. روش‌های پیوسته، یک آنالیز به شکل بسته را تشکیل می‌دهند که در آن خاک به عنوان یک نیمه فضای نامحدود در نظر گرفته می‌شود. مزیت اصلی روش‌های پیوسته نسبت به دو روش دیگر، درنظر گرفتن واکنش پی‌گستردگی است که صورت خودکار است. از طرفی از مهم‌ترین عیوب روش پیوسته، قابل استفاده بودن آن فقط برای مواد ویسکوکشسان است. علی‌رغم این محدودیت، روش پیوسته جهت درک بهتری از اندرکنش شمع - خاک و به دست آوردن توضیح تحلیلی از پارامترها، مانند مدول واکنش بستر وسیک (۱۹۶۱) که در مدل وینکلر استفاده می‌شود، مفید است.^[۶] با استفاده از روش پیوسته، نوak (۱۹۷۴) یک

* نویسنده مستغل

تاریخ: دریافت ۲/۱۱/۱۳۹۶، اصلاحیه ۲/۲۶/۱۲، پذیرش ۲/۲/۱۳۹۷.

DOI:10.24200/J30.2018.50077.2281

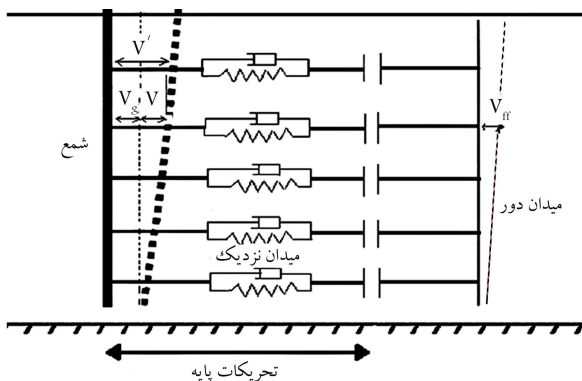
خواص خاک و مدول یانگ شمع، از یک روش طیف پاسخ در ارزیابی پاسخ‌های لرزه‌بی شمع استفاده کرده و نتایج حاصل نشان داده است هنگامی که خواص خاک (سختی و میرایی) به عنوان پارامترهای نامعین در نظر گرفته شوند، بیشینه‌ی لنگر خمشی سر شمع در سیستم سازه - شمع - خاک با استفاده از روش طیف پاسخ با درنظر گرفتن همبستگی مودال ارزیابی می‌شود.^[۲۱]

در سال ۱۷^{۲۰}، نیز تجزیه و تحلیل لرزه‌بی بر روی شمع‌ها با استفاده از معادله‌ی موج یک بعدی و شبیه‌سازی مونت‌کارلو توسط چانگ و همکارانش انجام و پاسخ لرزه‌بی شمع‌ها در طیف وسیعی از شدت زلزله بررسی شده است. با بررسی احتمال خرابی شمع‌ها برای عدم قطعیت در پارامترهای خاک و رکورد زلزله این نتیجه حاصل شده است. مدل اخیر، توسط برخی دیگر از پژوهشگران نیز از جمله: پولم و همکارانش (۱۹۹۸)، وانگ و همکارانش (۱۹۹۸)، هاچیسنون و همکارانش (۲۰۰۴)، استفاده شده است.^[۲۱] مدلی براساس میرایی و سختی سیستم شمع - خاک توسط کاگاوا و کرفت (۱۹۸۰) و بادونی و ماکریس (۱۹۹۶)، با استفاده از روش تیر بر روی فونداسیون غیرخطی وینکلار ارائه شده است که در مسائل غیرخطی اندرکشش شمع - خاک استفاده شده است.^[۱۱]

علی‌رغم تحقیقات غیرقطعی انجام شده درخصوص بررسی رفتار لرزه‌بی شمع‌ها، اما تاکنون پژوهش غیرقطعی با استفاده از روش وینکلار و به منظور استفاده از مزیت‌های آن ارائه نشده است. در پژوهش حاضر تلاش شده است تا با تکیه بر توانایی‌های روش وینکلار و بهره‌بری از دقت بالای روش شبیه‌سازی مونت‌کارلو^۱، نسبت به تعیین جایه‌جایی غیرقطعی شمع ناشی از بار دینامیکی در حوزه‌ی زمان و با درنظر گرفتن عدم قطعیت در پارامترهای ورودی مسئله اقدام شود. برای این منظور با کدنویسی در محیط برنامه‌نویسی متلب^۲ نسبت به تعیین یک مدل احتمالاتی جدید و متفاوت با مدل‌های ارائه شده پیشین اقدام شده است. لذا با درنظر گرفتن شمع به صورت المان‌هایی از تیر و سختی و میرایی خاک توسط فنرها و میراگرهای خطی و درنهایت زلزله، نیروی دینامیکی وارد بر بستر صلب وارد شده است. جهت صحبت‌سنجی نتایج در حالت قطعی از نرم افزار پلاکسیس^۳ استفاده و طیف پاسخ شتاب حاصل از هر دو نرم افزار با یکدیگر مقایسه شده است. درنهایت، تابع توزیع احتمال جایه‌جایی نسیبی نوک شمع به دست آورده شده است.

۲. روش وینکلر

در روش وینکلار، مدل سازی خاک با فنر خطی و میراگر در میدان نزدیک و همچنین تعدادی فنر خطی و میراگر در میدان دور مدل سازی می‌شود. میرایی، پراکندگی انرژی است و جزء رفتار ذاتی ماده به حساب می‌آید و از این رو در روش وینکلار با یک میراگر موازی با فنر، که سختی خاک را نشان می‌دهد، مدل می‌شود. شکل ۱،



شکل ۱. مدل وینکلر جهت آنالیز دینامیکی شمع تحت اثر بار جانبی.^[۲۲]

(۱۹۷۸)، با استفاده از روش پیوسته، مدل دقیق‌تری از رفتار شمع را ارائه کردند که در آن، خاک در حالت کرنش صفحه‌بی و به صورت کشسان خطی، ایزوتروپیک و همگن در نظر گرفته شده است. آن‌ها شمع را تحت بارگذاری یکنواخت در یک محیط نیمه بی‌نهایت بررسی کردند. نتایج پژوهش اخیر نشان می‌دهد که حل این مسئله در حالت سه‌بعدی نسبت به حالت دو بعدی آسان‌تر است.^[۷] همچنین مثلاً و همکارانش (۱۹۷۸)، از روش $y-p$ برای توضیح سختی جانبی مدل شمع - خاک جهت تجزیه و تحلیل لرزه‌بی با درنظر گرفتن رفتار غیرخطی شمع و خاک استفاده کردند.^[۸] مدل اخیر، توسط برخی دیگر از پژوهشگران نیز از جمله: پولم و همکارانش (۱۹۹۸)، وانگ و همکارانش (۱۹۹۸)، هاچیسنون و همکارانش (۲۰۰۴)، استفاده شده است.^[۹] مدلی براساس میرایی و سختی سیستم شمع - خاک توسط کاگاوا و کرفت (۱۹۸۰) و بادونی و ماکریس (۱۹۹۶)، با استفاده از روش تیر بر روی فونداسیون غیرخطی وینکلار ارائه شده است که در مسائل غیرخطی اندرکشش شمع - خاک استفاده شده است.^[۱۱]

گازتس و دوبری (۱۹۸۴) و (۱۹۸۴a)، نسبت به ارائه‌ی یک مدل ساده‌تر که در آن امواج کششی - فشاری در دو جهت در راستای بارگذاری و امواج S در دو جهت عمود بر راستای بارگذاری منتشر می‌شدند، اقدام کردند.^[۱۰] بنتلی و ال ناگار (۲۰۰۰)، ارتباطی بین مدل اخیر و منحنی $y-p$ با دو فنر سری معادل برای میدان نزدیک و میدان دور ایجاد کردند. سختی‌های غیرخطی به دست آمده، میدان نزدیک و فنرهای سری رفتاری، مانند فنرهای $y-p$ داشتند.^[۱۵] پژوهش‌های متنوعی به فرم دو بعدی و سه بعدی با استفاده از روش اجزاء محدود جهت ارزیابی شمع‌ها تحت اثر بار جانبی صورت پذیرفتند. در سال‌های اخیر، پژوهشگران نسبت به بهبود آنالیز عددی اقدام کردند، به طوری که در آن‌ها: خاک، شمع و سطح تماس شمع و خاک با هم شبیه‌سازی شدند. پارمل (۱۹۶۴)، نوواک (۱۹۷۴) و نوواک و همکاران (۱۹۷۸)، مطالعاتی در رابطه با پاسخ دینامیکی شمع‌ها و برهم کنش خاک و شمع و تشکیل کشسان دینامیکی و جایه‌جایی‌های محل با استفاده از یک مدل غیرخطی پیوسته ارائه داده‌اند.^[۱۶]

همچنین راندل (۱۹۸۱)، فاروک و دسای (۱۹۸۲)، تروچانیس و همکاران (۱۹۹۱) و فین و وو (۱۹۹۷)، از روش اجزاء محدود برای آنالیز دینامیکی شمع با درنظر گرفتن خاک به عنوان یک جرم پیوسته اقدام کردند.^[۲۰] در سال ۲۰۰۰ در نیز یک مدل اجزاء محدود با درنظر گرفتن رفتار غیرخطی خاک و معرفی حد تسليم دراگر - پراگر، ایجاد موج توسط بارگذاری بر پایین مدل، و شرایط غیرپیوستگی در سطح تماس شمع - خاک و معرفی المان‌های تماسی که می‌تواند باعث ایجاد لغزش شوند، ارائه شده است که برای مقایسه‌ی عکس العمل خاک با عکس العمل سیستم شمع - خاک و پاسخ دینامیکی شمع - خاک استفاده شده است.^[۱۵]

عدم تطبیق فرضیات به کار گرفته شده در مدل سازی با شرایط واقعی و همچنین خطاهای انسانی و دستگاهی، باعث غیرقابل اعتماد شدن نتایج به دست آمده از روش‌های قطعی شده است. در حالی که با استفاده از روش‌های ارزیابی قابلیت اطمینان با توجه به اعمال عدم قطعیت در پارامترهای مسئله و به کارگیری منحنی توزیع احتمال پارامترهای مورد بررسی به جای فقط یک مقدار قطعی، منحنی توزیع تمامی مقادیر محتمل برای پارامترهای موجود در مسئله، می‌تواند توسعه کاربر بررسی شود.

اوکادو (۲۰۱۶) در ارزیابی پاسخ لرزه‌بی شمع با درنظر گرفتن عدم قطعیت در

همچنین ماتریس سختی خاک به صورت رابطه‌ی ۶ تعریف می‌شود:

$$K^S = EI \int_0^L N_i^n N_j^n dx = \frac{K_h L}{420} \quad (6)$$

$$\begin{bmatrix} 156 & 22L & 54 & -13L \\ 22L & 4L^2 & 13L & -3L^2 \\ 54 & 13L & 156 & -22L \\ -13L & -3L^2 & -22L & 4L^2 \end{bmatrix}$$

که در آن، K_h نشان‌دهنده سختی خاک است. درنهایت، ماتریس سختی کل المان شمع - خاک به صورت معادله‌ی ۷ محاسبه می‌شود:

$$K = K^p + K^S = \frac{EI}{L^3} \begin{bmatrix} 12 & 6L & -12 & 6L \\ 6L & 4L^2 & 6L & 2L^2 \\ -12 & 6L & 12 & -6L \\ 6L & 2L^2 & -6L & 4L \end{bmatrix} + \frac{K_h L}{420} \begin{bmatrix} 156 & 22L & 54 & -13L \\ 22L & 4L^2 & 13L & -3L^2 \\ 54 & 13L & 156 & -22L \\ -13L & -3L^2 & -22L & 4L^2 \end{bmatrix} \quad (7)$$

جهت محاسبه ماتریس جرم، گروهی از پژوهشگران جرم خاک را به صورت شعاعی از خاک اطراف در نظر می‌گیرند. اما بخوبی دیگر، جهت ساده‌سازی و با یک تقریب مناسب از جرم خاک صرف‌نظر می‌کنند. در پژوهش حاضر، نیز فقط جرم شمع در نظر گرفته شده است که به صورت رابطه‌ی ۸ تعریف می‌شود.^[۲۲]

$$M^P = \rho A \int_0^L N_i N_j dx = \frac{mL}{2} \begin{bmatrix} 1 & 0 & 0 & 0 \\ 0 & 0 & 0 & 0 \\ 0 & 0 & 1 & 0 \\ 0 & 0 & 0 & 0 \end{bmatrix} \quad (8)$$

که در آن، m جرم واحد طول شمع و ρA جرم شمع است. از آنجا که میرایی شمع بسیار ناچیز است، در محاسبات میرایی المان شمع - خاک، فقط از میرایی خاک استفاده و از میرایی شمع چشم‌پوشی شده است. c در معادله‌ی ۹، نشان‌دهنده میرایی شمع است.^[۲۲]

$$C = c \int_0^L N_i^n N_j^n dx = \frac{cL}{420} \begin{bmatrix} 156 & 22L & 54 & -13L \\ 22L & 4L^2 & 13L & -3L^2 \\ 54 & 13L & 156 & -22L \\ -13L & -3L^2 & -22L & 4L^2 \end{bmatrix} \quad (9)$$

بعد از به‌دست آوردن ماتریس‌های جرم، سختی و میرایی سیستم شمع - خاک و ساده‌سازی معادله‌ی ۳ به فرم معادله‌ی ۴ و حل آن با استفاده از روش انتگرال‌گیری گام به گام یا روش جمع آثار قوا بردارهای شتاب، سرعت و جابه‌جایی در زمان‌های مختلف محاسبه می‌شود. روش جمع آثار قوا، فقط برای سیستم‌های خطی کاربرد دارد. اما روش انتگرال‌گیری گام به گام برای سیستم‌های خطی و غیرخطی استفاده

تعییرشکل شمع تحت اثر بارگذاری لرزه‌یی، که توسط روش وینکلر مدل‌سازی شده است، را نشان می‌دهد.

در روش وینکلر جهت تعیین جابه‌جایی شمع از معادله‌ی تعادل دینامیکی به صورت رابطه‌ی ۱ استفاده می‌شود:

$$[M] \{ \ddot{u} \} + [C] \{ \dot{u} \} + [K] \{ u \} = \{ R(t) \} \quad (1)$$

که در آن، $[M]$ ، $[C]$ و $[K]$ به ترتیب ماتریس‌های جرم، میرایی و سختی کل سیستم هستند که مقدار آن‌ها از به هم پیوستن ماتریس‌های مربوط به المان‌های تشکیل‌دهنده سیستم به‌دست می‌آید. پارامترهای $\{ \ddot{u} \}$ ، $\{ \dot{u} \}$ و $\{ u \}$ به ترتیب بردارهای شتاب، سرعت و جابه‌جایی هستند. $\{ R(t) \}$ بار دینامیکی است و به صورت رابطه‌ی ۲ تعریف می‌شود:

$$R(t) = -M I \ddot{u}_g(t) \quad (2)$$

که در آن، $(t)_g$ شتاب ورودی زلزله از زمین در محل فصل مشترک و I بردار واحد است که نیروی زلزله را به درجه‌های آزادی سیستم وارد می‌کند. با استفاده از معادله‌ی موج در یک بعد، معادله‌ی دیفرانسیل حاکم بر حرکت شمع در هنگام وارد شدن نیروی زلزله در جهت افقی به صورت رابطه‌ی ۳ به‌دست می‌آید:

$$EI \frac{\partial^4 v}{\partial x^4} + \rho A \left(\frac{\partial^4 v}{\partial t^4} + \frac{\partial^4 v_g}{\partial t^4} \right) + c \left(\frac{\partial v}{\partial t} - \frac{\partial v_{ff}}{\partial t} \right) + K_h (v - v_{ff}) = 0 \quad (3)$$

که در آن، E مدول بانگ شمع، A سطح مقطع شمع، I لنگر دوم اینرسی شمع، v_{ff} جابه‌جایی نسبی میدان آزاد براساس تحریک پایه، ρ چگالی شمع، K_h ضریب عکس‌عمل خاک، c ضریب میرایی معادل، v جابه‌جایی نسبی شمع با توجه به تحریک پایه، v_g تحریک پایه و EI نشان‌دهنده سختی شمع هستند. با ساده‌سازی معادله‌ی ۳ و قراردهی ترم‌های نیرو در سمت راست معادله، رابطه‌ی ۴ حاصل می‌شود.^[۲۲]

$$\rho A \frac{\partial^4 v}{\partial t^4} + c \frac{\partial v}{\partial t} + \left(EI \frac{\partial^4 v}{\partial x^4} + K_h v \right) = \left(\rho A \frac{\partial^4 v_g}{\partial t^4} + c \frac{\partial v_{ff}}{\partial t} + K_h v_{ff} \right) \quad (4)$$

مقایسه‌ی معادله‌ی ۴ با معادله‌ی ۱ نشان می‌دهد از آنجاکه حل معادله‌ی ۱ با استفاده از ماتریس‌های جرم، میرایی و سختی انجام گرفته است، بنابراین برای حل معادله‌ی ۴ نیز نیاز به ماتریس‌های بیان شده در معادله‌ی ۱ است. در ادامه، نحوه محاسبه ماتریس‌های جرم، میرایی و سختی خاک، شمع و سیستم شمع - خاک ارائه شده است. ماتریس سختی المان‌های شمع به صورت رابطه‌ی ۵ تعریف می‌شود که در آن طول المان شمع است.^[۲۲]

$$K^p = EI \int_0^L N_i^n N_j^n dx = \frac{EI}{L^3} \begin{bmatrix} 12 & 6L & -12 & 6L \\ 6L & 4L^2 & 6L & 2L^2 \\ -12 & 6L & 12 & -6L \\ 6L & 2L^2 & -6L & 4L \end{bmatrix} \quad (5)$$

۱.۳. روش شبیه‌سازی مونت‌کارلو

امروزه جهت حل مسائل زیادی از علوم مهندسی و اقتصاد، از روش عددی شبیه‌سازی مونت‌کارلو استفاده می‌شود. روش مونت‌کارلو الگوریتمی محاسباتی است که برای محاسبه‌ی تابع از نمونه‌گیری تصادفی تکرارشونده استفاده می‌کند. روش مونت‌کارلو، نوعی شبیه‌سازی است که عدم قطعیت در ابعاد مختلف مسئله را به صورت واضح وارد می‌کند. به دلیل انکه روش مونت‌کارلو بر محاسبات تکراری و اعداد تصادفی یا تصادفی کاذب، روش‌های مذکور اغلب به گونه‌ی تنظیم می‌شوند که توسط رایانه اجرا شوند. روش‌های شبیه‌سازی مونت‌کارلو مخصوصاً در مطالعه‌ی سیستم‌هایی که در آن تعداد زیادی متغیر با درجه آزادی‌های دو به دو مرتبط وجود دارد، مفید است. روش‌های مونت‌کارلو برای شبیه‌سازی پدیده‌هایی که عدم قطعیت زیادی در رودی‌های آن‌ها وجود دارد، نیز مفید هستند. در روش مونت‌کارلو کل سیستم به دفعات شبیه‌سازی می‌شود، به طوری که تمام شبیه‌سازی‌ها، شناس وقوع یکسانی دارند. در روش مونت‌کارلو، جهت تعیین کمی عدم قطعیت‌های مدل برای هر یک از متغیرهای تصادفی ورودی، یکتابع توزیع احتمال در نظر گرفته می‌شود. در هر مرتبه شبیه‌سازی برای هر متغیر ورودی، یک متغیر تصادفی با توجه به ویژگی‌های تابع توزیعی که برای آن متغیر در نظر گرفته شده است، انتخاب می‌شود و با جایگذاری در تابع هدف، مقدار تابع هدف محاسبه می‌شود. این فرایند آنقدر تکرار می‌شود تا به تعداد کافی متغیر خروجی برای ساخت منحنی توزیع احتمال تابع هدف تولید شود. تعداد سعی لازم برای مسائل با متغیرهای تصادفی ورودی با تابع توزیع نرمال را می‌توان از طریق رابطه‌ی ۱۵ تقریب زد:

$$N = \left[\frac{d^2}{4(1-\varepsilon)^2} \right]^n \quad (15)$$

که در آن، N تعداد سعی مونت‌کارلو لازم، d تعداد انحراف استاندارد در نظر گرفته شده در طریفین میانگین تابع توزیع نرمال براساس درصد و n تعداد متغیرهای تصادفی ورودی است.

۴. مدل‌سازی یک مثال نمونه

جهت تعیین کارایی روش موردنظر، با استفاده از معادله‌ی ۴ و پارامترهای تعریف شده در آن، نسبت به مدل‌سازی یک شمع در خاک مبتنی بر روش وینکلر اقدام شده است. برای این ممنظور با برنامه‌نویسی در محیط متلب، مسئله در دو حالت قطعی و غیرقطعی حل شده و جهت صحبت‌سنگی مسئله در حالت قطعی با داده‌های میانگین با نتایج نرم‌افزار پلاکسیس مقایسه شده است. در مدل‌سازی اخیر، از شمعی به طول 10 m متر که به المان‌های 1 m تری تقسیم شده، استفاده شده است. جهت حل مدل، ابتدا پاسخ سایت تعیین و نتایج به آنالیز سیستم شمع - خاک وارد شده است. به منظور لحاظ آثار سطح تماس شمع و خاک، از فنر و میراگر استفاده شده است، که نشان‌دهنده‌ی اتفاق ارزی و سختی خاک هستند. برای اثر دادن محدوده‌ی از خاک که در فاصله‌ی بیشتری از شمع قرار دارد، از آنالیز پاسخ ساختگاه استفاده شده است. بر دینامیکی به فرم اختیاری زلزله‌ی چی چی^۲ انتخاب شده است که پس از وارد کردن آن بر بستر سنگی، اثر آن به مدل وارد و معادله‌ی حرکت به روش نیومارک حل شده و مقادیر جابه‌جایی نسبی، سرعت نسبی و شتاب نسبی در طول شمع محاسبه شده است. مشخصات شمع و خاک و زلزله‌ی اعمال شده بر بستر صلب در تحلیل حاضر به ترتیب در جدول‌های ۱ الی

می‌شود.^{۲۳} پس از اعمال اثر نیروی زلزله و شرایط مرزی، معادله‌ی دینامیکی سیستم با استفاده از روش انتگرال‌گیری عددی نیومارک قابل حل است که گام‌های آن در ادامه ارائه شده است:

۱. تعیین مقدار اولیه‌ی u_0 ، u_1 ، u_2 ، u_3 ، u_4 ، u_5 ، u_6 ، u_7 ، u_8 ، u_9 ، u_{10} انتخاب گام زمانی Δt ، به طوری که α و β و ضرایب ثابت انتگرال‌گیری به صورت رابطه‌ی ۱۰ محاسبه شوند:

$$\begin{cases} \beta \geq 0,5 \\ \alpha \geq 0,25(0,5 + \beta) \\ a_0 = 1/\alpha \Delta t \\ a_1 = \beta/\alpha \Delta t \\ a_2 = 1/\alpha \Delta t \\ a_3 = 1/2\alpha - 1 \\ a_4 = \beta/\alpha - 1 \\ a_5 = \Delta t/2(\beta/\alpha - 2) \\ a_6 = \Delta t(1 - \beta) \\ a_7 = \beta \Delta t \end{cases} \quad (10)$$

۳. تعیین ماتریس مؤثر \hat{K} از رابطه‌ی ۱۱:

$$\hat{K} = K + a_0 M + a_1 C \quad (11)$$

۴. محاسبه‌ی بار مؤثر در زمان $t + \Delta t$ به صورت رابطه‌ی ۱۲:

$$\begin{aligned} \hat{R}_{t+\Delta t} &= R_{t+\Delta t} + M(a_0 u_t + a_1 u_t + a_2 u_t) \\ &\quad + C(a_3 u_t + a_4 u_t + a_5 u_t) \end{aligned} \quad (12)$$

۵. تعیین تغییرمکان‌ها در زمان $t + \Delta t$:

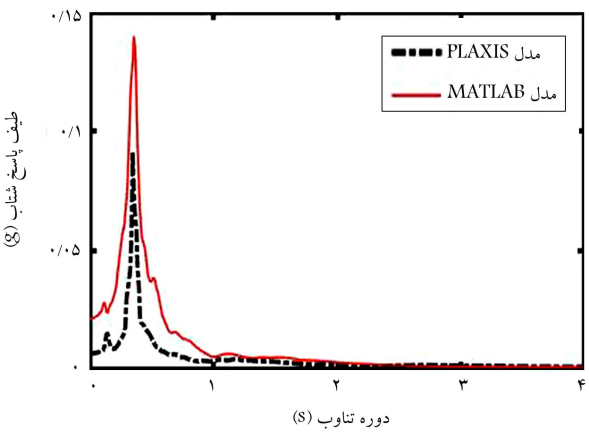
۶. محاسبه‌ی شتاب‌ها و سرعت‌ها در زمان $t + \Delta t$ (روابط ۱۳ و ۱۴):

$$\ddot{u}_{t+\Delta t} = a_0(u_{t+\Delta t} - u_t) + a_1 \dot{u}_t + a_2 \ddot{u}_t \quad (13)$$

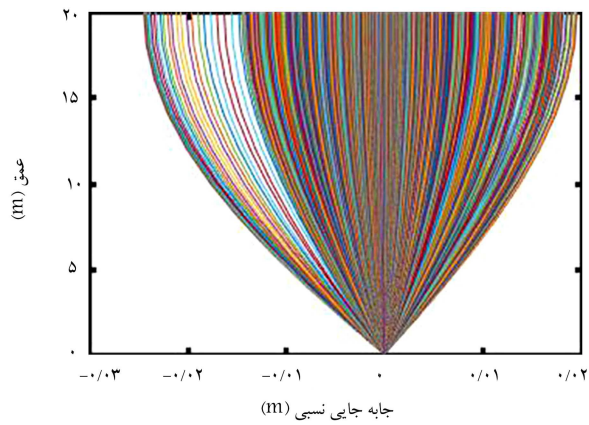
$$\dot{u}_{t+\Delta t} = \dot{u}_t + a_3 \ddot{u}_t + a_4 \ddot{u}_{t+\Delta t} \quad (14)$$

۳. آنالیز غیرقطعی

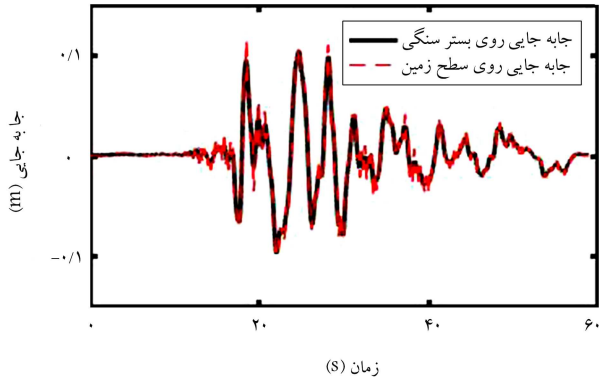
روش‌های آنالیز قابلیت اطمینان به عنوان روش‌های مبتنی بر علم احتمالات، ابزارهای کارآمدی جهت اعمال عدم قطعیت در پارامترهای مختلف، برای حل مسئله هستند. به طور کلی روش‌های ارزیابی قابلیت اطمینان را می‌توان به ۵ دسته تقسیم کرد: روش‌های تحلیلی، مانند: روش ترکیب منحنی تابع توزیع متغیرهای تصادفی، روش‌های تقریبی مانند روش قابلیت اطمینان مرتبه‌ی اول، روش لنگر دوم مرتبه‌ی اول و روش تخمین نقطه و روش‌های عددی، مانند: روش شبیه‌سازی مونت‌کارلو و روش نمونه‌گیری لاتین هایپرکیوب، روش‌های مبتنی بر رگرسیون آماری، روش‌های مبتنی بر هوش مصنوعی. در پژوهش حاضر از روش شبیه‌سازی مونت‌کارلو استفاده شده است.



شکل ۴. مقایسه‌ی طیف پاسخ شتاب مدل ارائه شده و PLAXIS.



شکل ۵. تغییرات جابه‌جایی نسبی خاک در عمق.



شکل ۶. مقایسه‌ی جابه‌جایی نگاشت زلزله‌ی ورودی و سطح زمین.

داده شده است. همان‌گونه که ملاحظه می‌شود، نتایج بدست آمده از مدل‌سازی، انطباق قابل قبولی با نتایج بدست آمده از پلاکسیس که مبنی بر مدل‌سازی بر روش اجزاء محدود است، دارد.

در شکل ۵، پاسخ جابه‌جایی زمین در گام‌های زمانی زلزله در طول خاک مشاهده می‌شود که مطابق آن با رسیدن به سطح زمین، مقدار جابه‌جایی ناشی از زلزله افزایش یافته است. در ادامه، مقایسه‌ی بین جابه‌جایی نگاشت و شتاب نگاشت زلزله‌ی ورودی در شکل‌های ۶ و ۷ مشاهده می‌شود که مطابق آن‌ها، مقدار شتاب و جابه‌جایی در سطح، مقداری افزایش یافته است. در جدول ۴، مقایسه‌ی بین بیشینه‌ی

جدول ۱. مشخصات لایه‌های خاک.

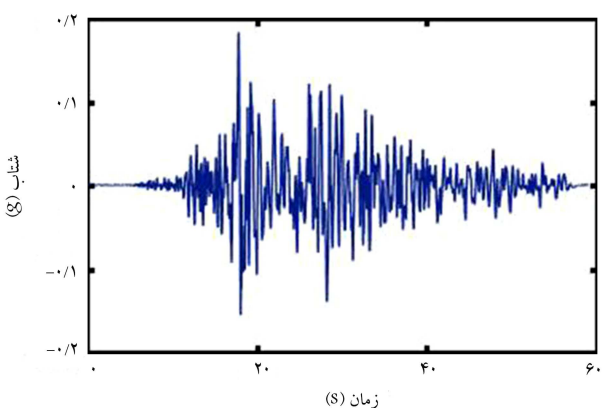
ضریب پواسون	مدول کشسانی (Pa)	وزن مخصوص (KN/m^3)
۰,۳	۳۵۰۰۰,۰	۱۸,۰

جدول ۲. مشخصات شمع مورد استفاده در مدل‌سازی.

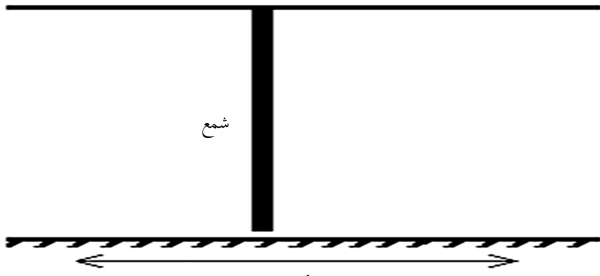
مودل کشسانی (KN/m^3)	وزن مخصوص (Pa)	شمع
مودل کشسانی (KN/m^3)	قطر (m)	طول (m)
۲۳,۰	۲۵۰۰۰۰۰۰,۰	۰,۸
		۱۰,۰

جدول ۳. مشخصات زلزله‌ی چی به عنوان بار دینامیکی جانبی در مدل‌سازی.

زلزله	بیشینه‌ی شتاب فاصله‌ی زمانی (s)	مدت زمان رخداد زلزله (s)	بیشینه‌ی شتاب زاویه (g)
چی چی	۰,۱۸۲۷	۵۸,۹۹۵	۰,۰۰۵



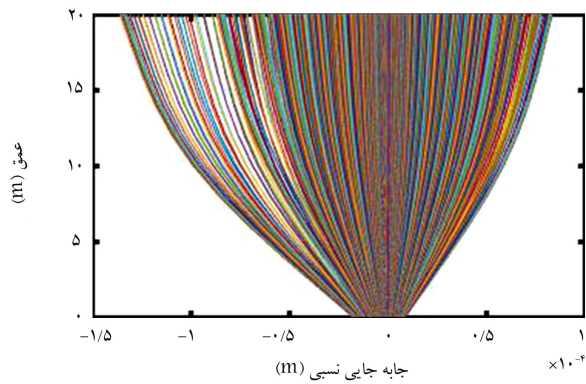
شکل ۲. شتاب نگاشت زلزله‌ی چی چی.



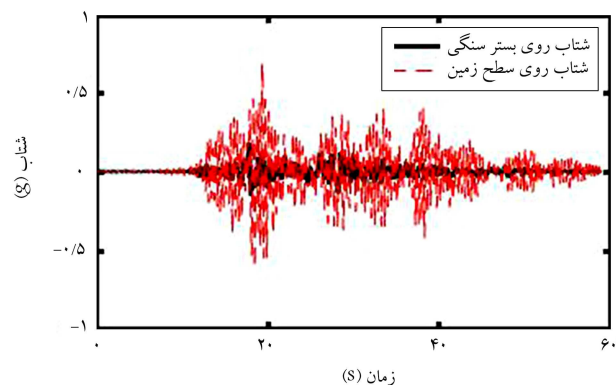
شکل ۳. مدل‌سازی شمع در محیط متلب.

۳ ارائه شده است. در شکل ۲، شتاب نگاشت زلزله‌ی چی چی و شکل ۳، نمای کلی از مدل‌سازی شمع در محیط متلب مشاهده می‌شود که مطابق آن انتهای شمع در بستر صلب قرار نگرفته و نوک شمع، ۵,۰ متر با بستر صلب فاصله داده شده است.

۴.۱. صحت‌سنجی مدل از آنجا که در مدل نیاز به نتایج عکس‌العمل ساختگاه بوده است، لذا جهت صحت‌سنجی مدل در حالت قطعی، ابتدا نتایج آنالیز پاسخ ساختگاه مقایسه شده است. در شکل ۴، مقایسه‌ی بین طیف پاسخ حاصل از مدل‌سازی و پلاکسیس نمایش



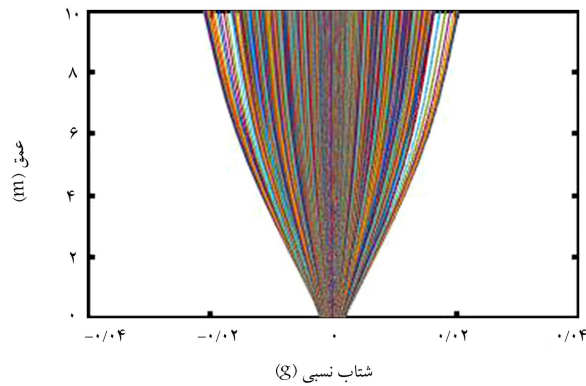
شکل ۹. تغییرات جابه جایی نسبی شمع - خاک در عمق.



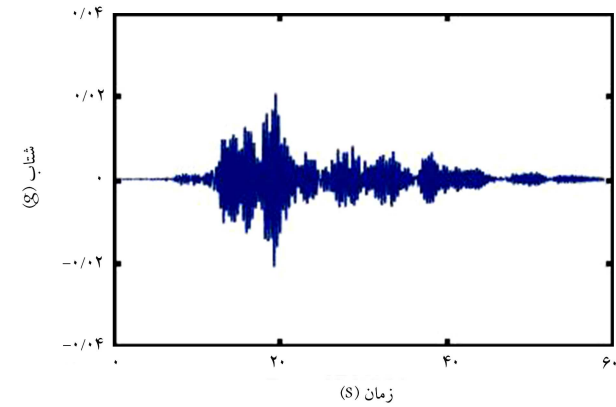
شکل ۷. مقایسه شتاب نگاشت زلزله ورودی و شتاب نگاشت سطح زمین.

جدول ۴. مقادیر بیشینه جابه جایی، سرعت و شتاب.

موقعیت	بیشینه های		
	شتاب (cm)	سرعت (cm/s)	جابه جایی (g)
سطح زمین	۱۱۷۷	۰,۶۸۰۶۱	۰,۶۸۴۳
بستر	۱۰۳۷۷	۰,۳۹۲۴	۰,۱۸۳

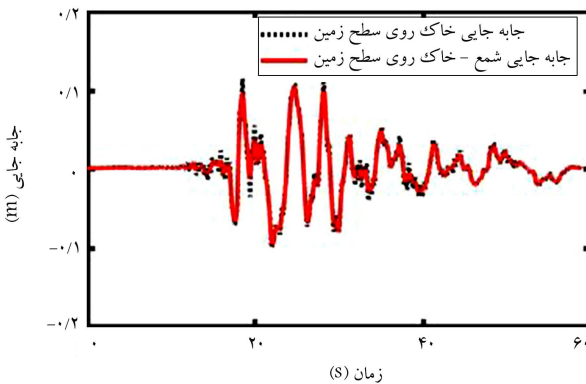


شکل ۱۰. شتاب نسبی شمع - خاک تحت اثر زلزله چی چی.



شکل ۸. شتاب نگاشت زلزله Chi.

جابه جایی، سرعت و شتاب در سطح زمین و شتاب وارد شده به بستر صلب انجام شده است که مطابق آن بیشینه جابه جایی، سرعت و شتاب در سطح زمین افزایش یافته است.



شکل ۱۱. مقایسه جابه جایی کل سیستم شمع - خاک.

۵. آنالیز غیرقطعی

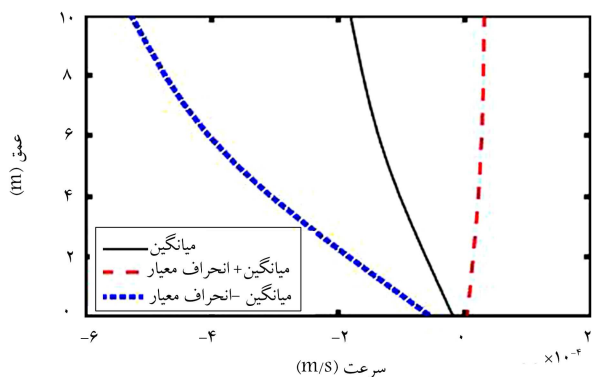
پس از انجام آنالیز قطعی، جهت انجام آنالیز غیرقطعی از روش شبیه‌سازی مونت‌کارلو استفاده شده است. مشخصات خاک، شمع و زلزله مورد استفاده به منظور انجام آنالیز غیرقطعی مشابه با حالت آنالیز قطعی است. در ادامه، خروجی‌های حاصل از روش شبیه‌سازی مونت‌کارلو بر روی سیستم شمع - خاک برای محاسبه بیشینه جابه جایی شمع تحت اثر زلزله ارائه شده است. به این منظور از یک نمونه خاک جهت بررسی تحلیل تصادفی استفاده شده است که اطلاعات ریوتکنیکی آن در جدول ۵ ارائه شده است. برای احتمالاتی کردن مسئله از روش شبیه‌سازی مونت‌کارلو با ۶۰۰۰۰ تکرار استفاده شده است. پارامترهای تصادفی در نظر گرفته شده جرم مخصوص خاک،

۲.۴. نتایج آنالیز قطعی مدل شمع - خاک

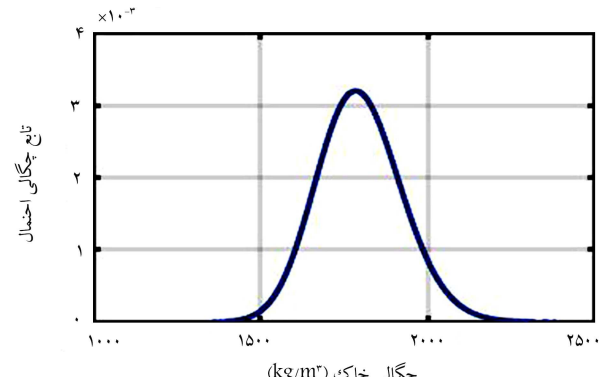
در بخش حاضر به بررسی نتایج حاصل از آنالیز قطعی مدل شمع - خاک برداخته شده است. در شکل ۸، شتاب نگاشت حاصل از تحلیل شمع - خاک در سطح زمین مشاهده می‌شود. در آنالیز پاسخ ساختگاه، مطابق شکل ۷ مقدار شتاب با رسیدن به سطح زمین افزایش قابل توجهی یافته است. این در حالی است که به دلیل استفاده از شمع در ساختگاه، مقدار شتاب در سطح زمین کاهش یافته است. در شکل‌های ۹ و ۱۰، مقادیر جابه جایی نسبی و شتاب نسبی سیستم شمع - خاک تحت اثر زلزله برای عمق‌های مختلف مشاهده می‌شود. در ادامه، مقایسه بین جابه جایی نسبی در سطح زمین برای خاک و جابه جایی نسبی در سطح زمین برای سیستم شمع - خاک انجام شده است (شکل ۱۱).

جدول ۵. مقادیر پارامترهای غیرقطعی با توزیع لوگ نرمال.

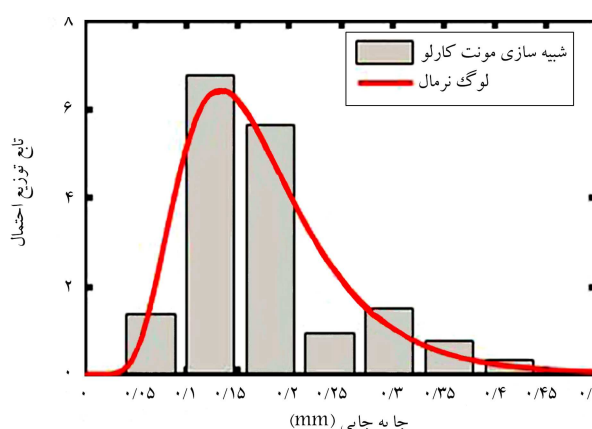
میانگین	انحراف معیار	کمینه	بیشینه	مقدار
۲۵۰۰۰۰۰۰۰۰ (Pa)	۳۰۰۰۰۰۰۰۰۰	۱۵۵۰۰۰۰۰۰۰	۳۸۵۰۰۰۰۰۰۰۰	مدول کشسانی شمع (Pa)
۳۵۰۰۰۰۰۰ (Pa)	۸۷۵۰۰۰۰	۸۸۰۰۰۰۰	۱۲۵۰۰۰۰۰	مدول کشسانی خاک (Pa)
۱۸۰ (kg/m³)	۱۲۶	۲۳۹۳	۱۳۵	جرم مخصوص خاک (kg/m³)



شکل ۱۵. مقایسه میانگین سرعت سیستم شمع - خاک با سرعت میانگین به علاوه و منهای انحراف معیار.



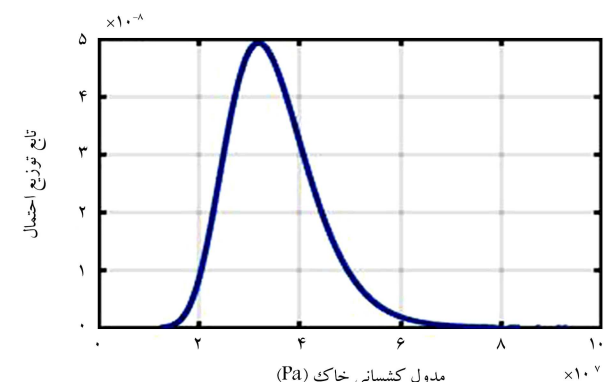
شکل ۱۲. توزیع تغییرات چگالی خاک.



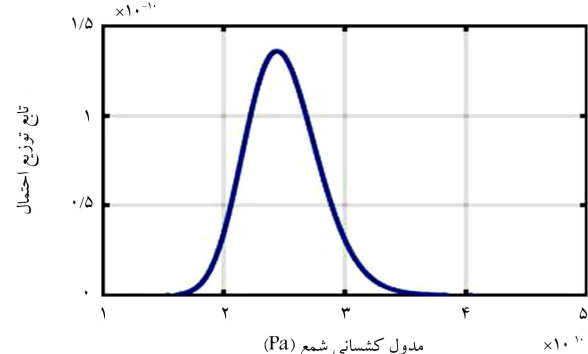
شکل ۱۶. تابع چگالی احتمال بیشینه‌ی جابه‌جایی سر شمع در ثانیه‌ی سی‌آم زلزله.

می‌شدید که مطابق آن با تغییر داده‌های ورودی به اندازه‌ی یک انحراف معیار، سرعت نسبی در سر شمع در یک زمان انتخابی از زلزله از مقدار 3×10^{-5} میلی‌متر بر ثانیه تا مقادیر 0.527×10^{-5} میلی‌متر بر ثانیه و 0.321×10^{-5} میلی‌متر بر ثانیه تغییر پیدا کرده است. با حل احتمالاتی معادله‌ی حرکت، به ترتیبی که پیش از این توضیح داده شد، جابه‌جایی در هر نقطه‌ی شمع به صورت احتمالاتی به دست می‌آید. در شکل‌های ۱۶ و ۱۷، به ترتیب تابع چگالی احتمال و تابع توزیع تجمعی مربوط به بیشینه‌ی جابه‌جایی شمع (سر شمع) تحت اثر زلزله‌ی چی مربوط به ثانیه‌ی سی‌آم مشاهده می‌شود.

همچنین جهت بررسی احتمالاتی اثر طول شمع، مدل سازی برای ۳ طول مختلف شمع انجام شده است. برای این منظور، ۳ شمع با طول‌های $10, 15, 20$ و 25 متر مدل و تابع چگالی آن‌ها تعیین شده است. در شکل ۱۸، نتیجه‌ی مدل سازی‌های اخیر مشاهده می‌شود که مطابق آن با افزایش طول شمع برای یک احتمال ثابت، جابه‌جایی افزایش یافته است.



شکل ۱۳. توزیع تغییرات مدل کشسانی خاک.



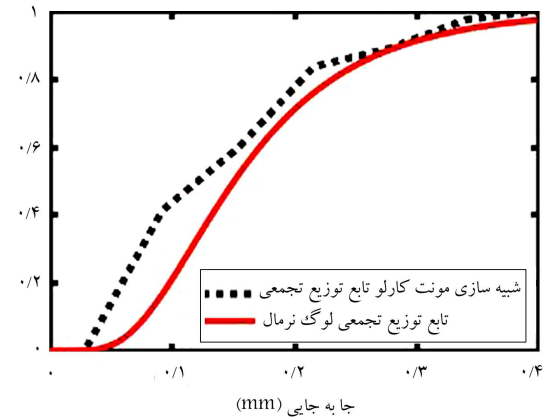
شکل ۱۴. توزیع تغییرات مدل کشسانی شمع.

مدول کشسانی خاک و مدل کشسانی بتن است که برای آن‌ها از تابع توزیع لوگ نرمال استفاده شده است. در شکل‌های ۱۲ الی ۱۴، توزیع پارامترهای غیرقطعی ذکر شده مشاهده می‌شود. به عنوان اولین نتیجه، مقایسه‌ی بین میانگین سرعت شمع و میانگین به علاوه‌ی انحراف معیار و میانگین، منهای انحراف در طول شمع در شکل ۱۵ مشاهده

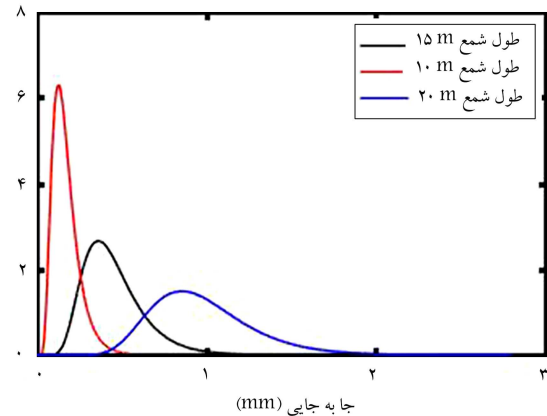
۶. نتیجه‌گیری

در پژوهش حاضر، با استفاده از روش وینکلر و با لحاظ عدم قطعیت در مدول کشسانی شمع، خاک و چگالی خاک به بررسی جایه‌جایی شمع تحت اثر بار زلزله پرداخته شده است. به این منظور، دو برنامه برای حالت قطعی و غیرقطعی در محیط برنامه‌نویسی متلب کدنویسی شده است. درنهایت، جهت انجام تحلیل تصادفی از روش شبیه‌سازی مونت‌کارلو استفاده شده است. برای وارد کردن زلزله‌ی منتخب، زلزله‌ی برسترن-ستگی اعمال و اثر آن از طریق یک آنالیز پاسخ ساختگاه وارد معادله‌ی حرکت شده است.

نتایج حاصل از پژوهش حاضر نشان می‌دهد که شتاب ورودی هنگام عبور از لایه‌های خاک تقویت می‌شود و در صورت استفاده از شمع در خاک، به واسطه‌ی متناسب با میزان سختی آن، مقدار جایه‌جایی نسبی در سطح زمین به مقدار قابل توجهی کاهش می‌یابد. با وارد کردن احتمالاتی داده‌های ورودی، جایه‌جایی، سرعت نسبی، و شتاب شمع در زمان‌های مختلف رخداد زلزله، توزیع احتمالاتی خواهد داشت. نمونه‌ی از تغییرات سرعت سر شمع در خاک در پژوهش حاضر ترسیم شده است. این نمودار نشان می‌دهد وقتی داده‌های ورودی به اندازه‌ی یک انحراف معیار تغییر داده می‌شوند، سرعت در سر شمع از مقدار 10^3 میلی‌متر بر ثانیه تا مقدار 527^0 - میلی‌متر بر ثانیه و 321^0 میلی‌متر بر ثانیه تغییر می‌کند. در بخش دیگری از نوشتار حاضر نسبت به تعیین مشخصی توزیع احتمالاتی سر شمع اقدام شده است، که از طریق آن می‌توان احتمال تغییرات جایه‌جایی سر شمع را به دست آورد. لازم به ذکر است مساحتی مذکور فقط برای یک زمان خاص از مدت زمان رخداد زلزله است. جهت بررسی اثر طول شمع در احتمال تغییرشکل آن با 3 طول مختلف، معادله‌ی حرکت به روش احتمالاتی حل شده است. نتیجه‌ی بررسی کنونی نشان می‌دهد با افزایش طول شمع، میانگین جایه‌جایی سر شمع افزایش پیدا می‌کند و انحراف معیار جایه‌جایی سر شمع نیز افزایش می‌یابد و یا به عبارتی محدوده‌ی تغییرات شمع دچار افزایش می‌شود.



شکل ۱۷. تابع توزیع تجمعی مربوط به بیشینه‌ی جایه‌جایی سر شمع در ثانیه‌ی سی ام زلزله.



شکل ۱۸. مقایسه‌ی تابع چگالی احتمال بیشینه‌ی جایه‌جایی سر شمع برای طول‌های مختلف شمع

پانوشت‌ها

1. Monte Carlo simulation
2. Matlab
3. Plaxis
4. Chi Chi

منابع (References)

1. Vesic, A.B. "Bending of beams resting on isotropic elastic solid", *Journal of the Engineering Mechanics Division*, **87**(2), pp. 35-54 (1961).
2. Novak, M. "Dynamic stiffness and damping of piles", *Canadian Geotechnical Journal*, **11**(4), pp. 574-598 (1974).
3. Tajimi, H. "Earthquake response of foundation structures", Report of the Faculty of Science and Engineering, Nihon University, pp. 11-35 (1966).
4. Nogami, T. and Novak, M. "Coefficients of soil reaction to pile vibration", *Journal of Geotechnical and Geoenvironmental Engineering*, **106**(5), pp. 565-570 (1980).
5. Berger, E., Mahi, S.A. and Pyke, R. "Simplified method for evaluating soil-pile-structure interaction effects", *Offshore Technology Conference* (1977).
6. Wang, S., Kutter, B.L. and Chacko, M.J. "Nonlinear seismic soil-pile structure interaction", *Earthquake Spectra*, **14**(2), pp. 377-396 (1998).
7. Novak, M., Aboul-Ella, F. and Nogami, T. "Dynamic soil reactions for plane strain case", *Journal of the Engineering Mechanics Division*, **104**(4), pp. 953-959 (1978).
8. Matlock, H. and Foo, S.H. "Simulation of lateral pile behavior under earthquake motion", In From Volume I of Earthquake Engineering and Soil Dynamics-Proceedings

- of the ASCE Geotechnical Engineering Division Specialty Conference, Pasadena, California. Sponsored by Geotechnical Engineering Division, pp. 600-619 (June 19-21, 1978).
9. PoLam, I., Kapuskar, M. and Chaudhuri, D. "Modeling of pile footings and drilled shafts for seismic design", Multidisciplinary Center for Earthquake Engineering Research (1998).
 10. Hutchinson, T.C., Chai, Y., Boulanger, R. and et al. "Inelastic seismic response of extended pile-shaft-supported bridge structures", *Chai*, **20**(4), pp. 1057-1080 (2004).
 11. Kagawa, T. and Kraft, L.M. "Lateral load-for bridges", Doctoral Dissertation, University of British Columbia (2000).
 12. Badoni, D. and Makris, N. "Nonlinear response of single piles under lateral inertial and seismic loads", *Soil Dynamics and Earthquake Engineering*, **15**(1), pp. 29-43 (1996).
 13. Gazetas, G. and Obry, B. "Horizontal response of piles in layered soils", *Journal of Geotechnical Engineering*, **110**(1), pp. 20-40 (1984).
 14. Gazetas, G. and Dobry, R. "Simple radiation damping model for piles and footings", *Journal of Engineering Mechanics*, **110**(6), pp. 937-956 (1984).
 15. Bentley, K.J. and Naggar, M.H.E. "Numerical analysis of kinematic response of single piles", *Canadian Geotechnical Journal*, **37**(6), pp. 1368-1382 (2000).
 16. Paramelee, R., Penzien, J., Scheffey, C. and et al. "Seismic effects on structures supported on piles extending through deep sensitive clays", Report, No. 64-2, Inst. of Eng. Res., Univ. of California (Berkeley), California (1964).
 17. Randolph, M.F. "The response of flexible piles to lateral loading", *Geotechnique*, **31**(2), pp. 247-259 (1981).
 18. Faruque, M. and Desai, C. "3-D material and geometric nonlinear analysis of piles", In *Proceedings of the Second International Conference on Numerical Methods in Offshore Piling*, pp. 553-575 (1982).
 19. Trochanis, A.M., Bielak, J. and Christiano, P. "Simplified model for analysis of one or two piles", *Journal of Geotechnical Engineering*, **117**(3), pp. 448-466 (1991).
 20. Wu, G. and Finn, W.L. "Dynamic nonlinear analysis of pile foundations using finite element method in the time domain", *Canadian Geotechnical Journal*, **34**(1), pp. 44-52 (1997).
 21. Okada, T., Fujita, K. and Takewaki, I. "Robustness evaluation of seismic pile response considering uncertainty mechanism of soil properties", Innovative Infrastructure Solutions (2016).
 22. Chang, D.W., Lin, Y.H., Liu, C.H. and et al. "Seismic performance of piles from EQWEAP and monte carlo simulation analyses", In *Geotechnical Hazards from Large Earthquakes and Heavy Rainfalls*, pp. 375-384, Springer, Tokyo (2017).
 23. Thavaraj, T. "Seismic analysis of pile foundations deflection relationships of piles subjected to dynamic loadings", *Soils and Foundations*, **20**(4), pp. 19-36 (1980).
 24. William, C., Diederich, F. and Philip, S.P.J. "Structural optimization and design based on a reliability design criterion", *J. SPACECRAFT*, **1**(1), pp. 56-61 (1964).